

В. В. МЕГЛИНСКИЙ

## ИЗГИБ ЭЛЛИПТИЧЕСКОЙ АНИЗОТРОПНОЙ ПЛАТЫ С ЭЛЛИПТИЧЕСКИМ ОТВЕРСТИЕМ

В работе [6] изложен метод решения задачи об изгибе анизотропной эллиптической плиты, ослабленной эллиптическими отверстиями.

В данной статье этим методом решена задача об изгибе эллиптической плиты с эллиптическим отверстием под действием изгибающих моментов, равномерно распределенных по внешнему контуру плиты. Внутренний контур считается жестко защемленным. Показано, что бесконечная система линейных алгебраических уравнений, к решению которой приведено решение поставленной задачи, является квазирегулярной при любой близости между собой контуров, ограничивающих срединную плоскость плиты.

1. Рассмотрим упругое равновесие плоской однородной анизотропной эллиптической плиты постоянной толщины, ослабленной одним эллиптическим отверстием.

Предположим, что пластинка не является ортотропной, но имеет в каждой точке одну плоскость упругой симметрии, параллельную срединной плоскости пластинки.

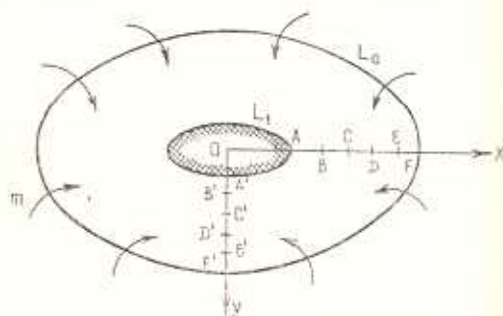
Обозначим область, занимаемую срединной плоскостью изгибаемой пластинки в плоскости  $XOY$ , через  $S$ , внешний контур — через  $L_0$ , внутренний — через  $L_1$ , а полуоси эллипсов — соответственно через  $a_0, b_0$  и  $a_1, b_1$ .

Будем считать, что контур  $L_1$  жестко защемлен, а на контуре  $L_0$  действуют равномерно распределенные изгибающие моменты интенсивности  $m$  (фиг. 1).

Задача о напряженно-деформированном состоянии такой плиты сводится, как известно, к определению функций  $W_j(z_j)$  ( $j=1, 2$ ) из соответствующих граничных условий. В рассматриваемом случае эти граничные условия удобно представить в виде

$$W_1'(t_1) + k_{11} \overline{W_1'(t_1)} + k_{21} \overline{W_2'(t_2)} = 0, \quad (1.1)$$

$$W_2'(t_2) + k_{31} \overline{W_1'(t_1)} + k_{41} \overline{W_2'(t_2)} = 0 \text{ на } L_1;$$



Фиг. 1.

$$\begin{aligned} W_1'(t_1) + k_{12} \overline{W_1'(t_1)} + k_{22} \overline{W_2'(t_2)} &= m \mu_1 d (q_2 \mu_2 y - p_2 x), \\ W_2'(t_2) + k_{22} \overline{W_1'(t_1)} + k_{12} \overline{W_2'(t_2)} &= -m \mu_2 d (q_1 \mu_1 y - p_1 x) \quad \text{на } L_0. \end{aligned} \quad (1.2)$$

Здесь  $t_j$  — аффиксы точек на контурах соответствующих эллипсов, расположенных в областях изменения  $z_j$ ;  $\mu_j$  — комплексные параметры изгиба [4]:

$$k_{11} = \frac{\bar{\mu}_1 - \mu_1}{\mu_1 - \mu_2}, \quad k_{21} = \frac{\bar{\mu}_2 - \mu_2}{\mu_1 - \mu_2}, \quad k_{12} = \frac{\mu_1}{\mu_1} d (\bar{\mu}_1 p_2 \bar{q}_1 - \mu_2 \bar{p}_1 q_2), \quad (1.3)$$

$$k_{22} = \frac{\mu_1}{\mu_2} d (\bar{\mu}_2 p_2 \bar{q}_2 - \mu_2 \bar{p}_2 q_2), \quad d = (\mu_1 p_2 q_1 - \mu_2 p_1 q_2)^{-1};$$

$$p_j = D_{11} + D_{22} \mu_j^2 + 2 D_{10} \mu_j; \quad q_j = D_{12} + D_{22} \mu_j^2 - 2 D_{20} \mu_j, \quad (1.4)$$

$$r_j = D_{16} + D_{20} \mu_j^2 + 2 D_{60} \mu_j, \quad s_j = \frac{D_{12}}{\mu_j} - 3 D_{10} - (D_{22} + 2 D_{20}) \mu_j + D_{20} \mu_j^2.$$

Коэффициенты  $k_{31}$ ,  $k_{11}$ ,  $k_{22}$ ,  $k_{12}$  получаются из  $k_{21}$ ,  $k_{11}$ ,  $k_{22}$ ,  $k_{12}$  если в выражениях (1.3) заменить  $\mu_1$ ,  $p_1$ ,  $q_1$  на  $\mu_2$ ,  $p_2$ ,  $q_2$  и наоборот.

Функции  $W_j(z_j)$  ( $j=1, 2$ ) определены в областях  $S_j$ , которые получаются из заданной области  $S$  путем известного аффинного преобразования.

После определения функций  $W_j(z_j)$  прогиб плиты, моменты и перерезывающие силы находятся по формулам [4]

$$\begin{aligned} W &= 2 \operatorname{Re} \sum_{j=1,2} W_j(z_j), & M_x &= -2 \operatorname{Re} \sum_{j=1,2} p_j \overline{W_j'(z_j)}, \\ M_y &= -2 \operatorname{Re} \sum_{j=1,2} q_j \overline{W_j'(z_j)}, & H_{xy} &= -2 \operatorname{Re} \sum_{j=1,2} r_j \overline{W_j'(z_j)}, \\ N_x &= -2 \operatorname{Re} \sum_{j=1,2} \mu_j s_j \overline{W_j'(z_j)}, & N_y &= 2 \operatorname{Re} \sum_{j=1,2} s_j \overline{W_j'(z_j)}. \end{aligned} \quad (1.5)$$

Для точек контуров наибольший интерес представляет определение моментов и перерезывающих сил, действующих на площадках, касательных и нормальных к контурам плиты. Они легко определяются по формулам [4]

$$\begin{aligned} M_n &= M_x \cos^2(nx) + M_y \cos^2(ny) - 2 H_{xy} \cos(nx) \cos(ny), \\ H_{nt} &= (M_y - M_x) \cos(nx) \cos(ny) + H_{xy} [\cos^2(nx) - \cos^2(ny)], \\ N_n &= N_x \cos(nx) + N_y \cos(ny). \end{aligned} \quad (1.6)$$

2. В силу геометрической и силовой симметрии главный вектор и главный момент усилий, приложенных к контуру  $L_1$ , будут равны нулю. Поэтому функции  $W_j(z_j)$  можно искать в виде [6]

$$W_j(z_j) = \sum_{k=1, 3, \dots} \frac{A_{jk}}{[\tilde{z}_1(z_j)]^k} + \sum_{k=1, 3, \dots} C_{jk} P_k^{(j)}(z_j). \quad (2.1)$$

Здесь  $A_{jk}$ ,  $C_{jk}$  — комплексные постоянные, подлежащие определению из граничных условий,  $P_k^{(j)}(z_j)$  — полиномы Фабера для областей, заключенных внутри эллипсов  $L_{j0}$ , полученных из  $L_0$  известным аффинным преобразованием, а  $\tilde{z}_1(z_j)$  связаны с  $z_j$  неявными зависимостями вида

$$z_j = R_{j1} \left( \tilde{z}_1 + \frac{m_{j1}}{\tilde{z}_1} \right). \quad (2.2)$$

Отобразим единичный круг в плоскости  $\tilde{z}_0$  на внешность эллипсов  $L_{j0}$ . Это отображение осуществляется, как известно, функциями

$$z_j = R_{j0} (\tilde{z}_0^{-1} + m_{j0} \tilde{z}_0). \quad (2.3)$$

Постоянные  $R_{jn}$  и  $m_{jn}$  ( $n=0, 1$ ) в выражениях (2.2) и (2.3) характеризуют размеры и форму эллипсов  $L_{jn}$  в областях изменения  $z_j$  и определяются соотношениями

$$R_{jn} = \frac{a_n - i^j b_n}{2}, \quad m_{jn} = \frac{1 + i^j c_n}{1 - i^j c_n}, \quad c_n = \frac{b_n}{a_n}. \quad (2.4)$$

Функции  $[\tilde{z}_1(z_j)]^{-l}$ , голоморфные вне контуров  $L_{j1}$ , а, следовательно, и вне контуров  $L_{j0}$ , можно после этого рассматривать как функции аргумента  $\tilde{z}_0$ . Они будут голоморфными в области внутри единичной окружности  $\gamma_0$ . Разложим внутри  $\gamma_0$  функции  $[\tilde{z}_1(z_j)]^{-l}$  ( $l=1, 3, 5, \dots$ ) в ряды Тейлора [7]

$$[\tilde{z}_1(z_j)]^{-l} = \sum_{k=1, 3, \dots} a_{jkl} [\tilde{z}_0(z_j)]^k. \quad (2.5)$$

Коэффициенты  $a_{jkl}$  определяются из соотношения

$$a_{jkl} = \sum_{n=1}^{k-1} a_{jpl} \alpha_{j, k-p, l-1} \quad (k=1, 2, 3, \dots). \quad (2.6)$$

При этом

$$a_{jkl} = \sum_{n=1}^{k-1} (-1)^{\frac{k-2n+1}{2}} n \left( \frac{2n+k-3}{2} \right)! m_{j1}^{n-1} m_{j0}^{\frac{k-2n+1}{2}} \frac{\left( \frac{R_{j1}}{R_{j0}} \right)^{2n-1}}{\left( \frac{k-2n+1}{2} \right)! (n!)^2} \quad (k=1, 3, \dots), \quad (2.7)$$

$$a_{jkl} = 0 \quad (k=2, 4, 6, \dots).$$

На основании (2.3) полиномы Фабера  $P_k^{(j)}(z_j)$  на контуре  $L_0$  можно записать в виде

$$P_k^{(j)}(z_j) = z^{-k} + m_{j0}^k z^k \quad (z = e^{i\theta}). \quad (2.8)$$

Принимая во внимание выражение (2.8) и учитывая, что на контуре  $L_0$   $\bar{z}_0(z_j) = z$ , подставим полученные разложения (2.5) в соотношения (2.1). Тогда для функций  $W_j(z_j)$  получим следующее представление на контуре  $L_0$ :

$$W_j(z) = \sum_{k=1,3,\dots}^{\infty} \left( \sum_{l=1,3,\dots}^k x_{jkl} A_{jl} \right) z^k + \sum_{k=1,3,\dots}^{\infty} C_{jk} (z^{-k} + m_{j0}^k z^k). \quad (2.9)$$

Здесь учтено, что  $x_{jkl} = 0$  при  $l > k$ , что непосредственно следует из (2.6).

Функции  $P_k^{(0)}(z_j)$ , голоморфные внутри эллипсов  $L_{j1}$ , будут голоморфными и в областях внутри контуров  $L_{j1}$ . Разложим их внутри эллипсов  $L_{j1}$  в ряды по полиномам Фабера  $P_k^{(1)}(z_j)$  [5]. Будем иметь

$$P_k^{(0)}(z) = \sum_{k=1,3,\dots}^{\infty} x'_{jks} P_k^{(1)}(z_j). \quad (2.10)$$

Здесь

$$x'_{jks} = \frac{1}{2\pi i} \int_{\gamma} P_s^{(0)}(z_j) \frac{dz}{z^{k+1}}, \quad (2.11)$$

где  $\gamma$  — контур единичной окружности в плоскости  $\bar{z}_1$ . Вычисление этого интеграла сопряжено с определенными трудностями. Но в рассматриваемом случае коэффициенты  $x'_{jks}$  оказалось возможным выразить через  $x_{jks}$ :

$$x'_{jks} = \frac{s}{k} x_{jks}. \quad (2.12)$$

Заметим далее, что на основании (2.2) на контуре  $L_1$  имеет место равенство  $\bar{z}_1(z_j) = z$ , а полиномы  $P_k^{(1)}(z_j)$  можно представить в виде

$$P_k^{(1)}(z_j) = z^k + m_{j1}^k z^{-k}. \quad (2.13)$$

Учитывая это, подставим разложения (2.10) в выражение (2.1). Тогда на контуре  $L_1$  для функций  $W_j(z_j)$  получим следующее представление:

$$W_j(z) = \sum_{k=1,3,\dots}^{\infty} \frac{A_{jk}}{z^k} + \sum_{k=1,3,\dots}^{\infty} \left( \sum_{l=0, k-2}^{\infty} x'_{jkl} C_{jl} \right) \left( z^k + \frac{m_{j1}^k}{z^k} \right). \quad (2.14)$$

Подставим теперь полученные выражения (2.9) и (2.14) соответственно в граничные условия (1.2) и (1.1). Одновременно учтем, что на контуре  $L_0$  имеют место соотношения

$$x = \frac{a_0}{2} \left( z + \frac{1}{z} \right), \quad y = \frac{a_0 c_0 i}{2} \left( z - \frac{1}{z} \right). \quad (2.15)$$

Приравняв затем коэффициенты при одинаковых степенях  $z$ , для определения постоянных  $A_{jk}$ ,  $C_{jk}$  и сопряженных величин получим

бесконечную систему линейных алгебраических уравнений, которую после несложных, но громоздких преобразований можно привести к виду

$$\begin{aligned}
 A_{1k} + m_{11}^k \sum_{l=k, k+2, \dots}^{\infty} z_{1kl} C_{1l} + k_{21} \sum_{l=k, k+2, \dots}^{\infty} \bar{z}_{1kl} \bar{C}_{1l} + k_{21} \sum_{l=k, k+2, \dots}^{\infty} \bar{z}_{2kl} \bar{C}_{2l} &= 0, \\
 A_{2k} + m_{21}^k \sum_{l=k, k+2, \dots}^{\infty} z_{2kl} C_{2l} + k_{31} \sum_{l=k, k+2, \dots}^{\infty} \bar{z}_{1kl} \bar{C}_{1l} + k_{31} \sum_{l=k, k+2, \dots}^{\infty} \bar{z}_{2kl} \bar{C}_{2l} &= 0, \\
 C_{1k} - k_{12} \left( \bar{m}_{10}^k \bar{C}_{1k} + \sum_{l=1, 3, \dots}^k \bar{z}_{1kl} \bar{A}_{1l} \right) + k_{22} \left( m_{20}^k C_{2k} + \sum_{l=1, 3, \dots}^k z_{2kl} A_{2l} \right) &= \delta_{1k0}, \\
 C_{2k} + k_{32} \left( \bar{m}_{10}^k \bar{C}_{1k} + \sum_{l=1, 3, \dots}^k \bar{z}_{1kl} \bar{A}_{1l} \right) + k_{42} \left( m_{20}^k C_{2k} + \sum_{l=1, 3, \dots}^k z_{2kl} A_{2l} \right) &= \delta_{2k0}, \\
 \bar{A}_{1k} + \bar{m}_{11}^k \sum_{l=k, k+2, \dots}^{\infty} \bar{z}_{1kl} \bar{C}_{1l} + \bar{k}_{31} \sum_{l=k, k+2, \dots}^{\infty} z_{1kl} C_{1l} - \bar{k}_{21} \sum_{l=k, k+2, \dots}^{\infty} z_{2kl} C_{2l} &= 0, \\
 \bar{A}_{2k} + \bar{m}_{21}^k \sum_{l=k, k+2, \dots}^{\infty} \bar{z}_{2kl} \bar{C}_{2l} + \bar{k}_{31} \sum_{l=k, k+2, \dots}^{\infty} z_{1kl} C_{1l} - \bar{k}_{41} \sum_{l=k, k+2, \dots}^{\infty} z_{2kl} C_{2l} &= 0, \\
 \bar{C}_{1k} + \bar{k}_{12} \left( m_{10}^k C_{1k} + \sum_{l=1, 3, \dots}^k z_{1kl} A_{1l} \right) + \bar{k}_{22} \left( m_{20}^k C_{2k} - \sum_{l=1, 3, \dots}^k z_{2kl} A_{2l} \right) &= \\
 &= \bar{\delta}_{1k0}, \\
 \bar{C}_{2k} + \bar{k}_{32} \left( m_{10}^k C_{1k} + \sum_{l=1, 3, \dots}^k z_{1kl} A_{1l} \right) - \bar{k}_{42} \left( m_{20}^k C_{2k} - \sum_{l=1, 3, \dots}^k z_{2kl} A_{2l} \right) &= \\
 &= \bar{\delta}_{2k0} \quad (k = 1, 3, \dots),
 \end{aligned} \tag{2.16}$$

где

$$\begin{aligned}
 \delta_{120} &= -\frac{n_1 d m a_0}{2} (p_2 - n_2 q_2 c_0 i), \quad \delta_{210} = \frac{n_2 d m a_0}{2} (p_1 - n_1 q_1 c_0 i), \\
 \delta_{1k0} &= \delta_{2k0} = 0 \quad (k > 3).
 \end{aligned} \tag{2.17}$$

Эта система оказывается квазирегулярной при любой близости между собой контуров  $L_0$  и  $L_1$ .

3. Для доказательства квазирегулярности системы (2.16) достаточно установить, что сумма взятых по абсолютной величине коэффициентов при неизвестных  $A_{jl}$  и  $C_{jl}$  стремится к нулю, когда  $k$  стремится к бесконечности [3].

Рассмотрим разложения (2.5). Для коэффициентов  $z_{kl}$  имеют место неравенства [7]

$$|z_{kl}| < \frac{M_l^j}{\rho^k}, \tag{3.1}$$

Здесь  $M_j^1$  — максимальные значения функций  $[\xi_1(z_j)]^{-1}$  на контурах эллипсов  $L_{j0}$ , софокусных с эллиптическими контурами  $L_{j0}$  и целиком лежащих в областях  $S_j$ . Эти контуры соответствуют окружности радиуса  $\rho > 1$  в плоскости  $\xi_0$ , когда осуществляется конформное отображение области  $|\xi_0| < 1$  на внешность эллипсов  $L_{j0}$ . Величины  $M_j^1$  всегда меньше единицы, так как величины  $|\xi_1(z_j)|^{-1}$  равны единице лишь на контурах  $L_{j1}$  и убывают до нуля при удалении от этих контуров.

Для сумм абсолютных значений коэффициентов при неизвестных  $A_{jk}$  в системе (2.16) будем иметь следующие неравенства:

$$\sum_{k=1, 3, \dots}^{\infty} |a_{jk}| < \frac{M_j^1}{\rho^k}. \quad (3.2)$$

Здесь обозначено

$$M_j^1 = \sum_{l=1, 3, \dots}^{\infty} M_{jl}^1. \quad (3.3)$$

Рассмотрим теперь разложения (2.10). Для коэффициентов  $a'_{jkl}$  имеют место следующие неравенства [8]:

$$|a'_{jkl}| < \frac{M_{jl}}{\rho_1^k}. \quad (3.4)$$

Здесь  $M_{jl}$  — максимальные значения функций  $P_j^{(0)}(z_j)$  на контурах эллипсов  $L_{j1}$ , софокусных с контурами  $L_{j1}$  и целиком лежащих в областях  $S_j$ . Контур эллипсов  $L_{j1}$  соответствует окружности радиуса  $\rho_1 > 1$  в плоскости  $\xi_1$  при конформном отображении внешности единичного круга в плоскости  $\xi_1$  на внешность эллипсов  $L_{j1}$ . Проведем эллипсы  $L_{j0}$ , софокусные с  $L_{j0}$ , так, чтобы они касались эллиптических кривых  $L_{j1}$ , не пересекая их. Тогда в качестве  $M_{jl}$  возьмем значения функций  $P_j^{(0)}(z_j)$  на контурах  $L_{j0}$ . Последние переходят в окружность радиуса  $r < 1$  в плоскости  $\xi_1$  при конформном отображении области  $|\xi_1| > 1$  на внешность эллипсов  $L_{j0}$ . Поэтому можно принять [8]

$$M_{jl} = 2r^l \quad (r < 1). \quad (3.5)$$

Рассмотрим следующие суммы:

$$\sum_{k=1, 3, \dots}^{\infty} |a'_{jkl}| < \frac{M_j^{**}}{\rho_1^k}. \quad (3.6)$$

Здесь

$$M_j^{**} = \sum_{l=1, 3, \dots}^{\infty} M_{jl} = 2 \sum_{l=1, 3, \dots}^{\infty} r^l. \quad (3.7)$$

Величины (3.3) и (3.7) являются ограниченными, что устанавливается на основании признака Даламбера. Поэтому величины (3.2) и

(3.6) стремятся к нулю, когда  $k$  стремится к бесконечности. Число таких сумм при искомым коэффициентах  $A_{jl}$  и  $C_{jl}$  конечно. Если, кроме того, принять во внимание формулы (9.17) и учесть, что  $|m_{jn}| < 1$ , то становится ясным, что система (2.16) является квазирегулярной при любой близости между собой контуров  $L_0$  и  $L_1$ .

Это обстоятельство позволяет при приближенном решении задачи использовать метод редукции [2].

4. В качестве примера рассмотрим плиту, изготовленную из ортотропного материала так, что главные направления упругости параллельны направлениям главных осей эллипсов  $L_1$  и  $L_0$ . Чтобы выявить влияние анизотропии материала на различные характеристики напряженно-деформированного состояния плиты, численные расчеты для прогиба, моментов и перерезывающих сил в точках действительной и мнимой осей и в точках контуров мы провели для случаев, когда плита изготовлена

1) из трехслойной авиационной фанеры (такую плиту в дальнейшем для краткости будем называть „фанерной“). Для фанеры отношение модулей Юнга для главных направлений упругости равно [4]  $E_1/E_2 = 12,1$ , в то время как для изотропного материала  $E_1/E_2 = 1$ ;

2) из СВМ'а, для которого  $E_1/E_2 = 1,01$  [1].

Жесткости, коэффициенты Пуассона и комплексные параметры изгиба для этих материалов приведены в табл. 1. Все расчеты были проведены на ЭЦВМ „Урал-2“. О сходимости результатов, а также о степени удовлетворения граничных условий в отдельных точках для фанерной плиты можно судить на основании табл. 2. В этой таблице приведены с точностью до  $m$  по приближениям значения прогиба, изгибающего момента  $M$ , и перерезывающей силы  $N$ , в наиболее инте-

Таблица 1

	$\frac{12 \cdot 10^{-5}}{h^3} D_1$	$\frac{12 \cdot 10^{-5}}{h^3} D_2$	$\frac{12 \cdot 10^{-5}}{h^3} D_3$	$\frac{12 \cdot 10^{-5}}{h^3} D_4$	$\nu_1$	$\nu_2$	$\beta_1$	$\beta_2$
Фанера	1,70	0,14	0,183	0,07	0,31	0,026	1,04 - 1,55i	-1,04 + 1,55i
СВМ	3,52	3,49	2,14	0,84	0,13	0,13	0,442 - 0,899i	-0,442 - 0,899i

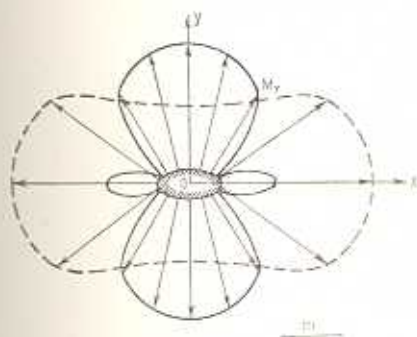
ресных точках (см. фиг. 1). При этом принято, что контуры  $L_0$  и  $L_1$  являются эллиптическими с отношением полуосей  $a_0/a_1 = 5$ ,  $b_0/b_1 = 2$ . Через  $n$  в таблице обозначено количество уравнений, которое оставалось в системе (2.16) при приближенном решении задачи.

Для плиты, изготовленной из СВМ'а, как показали проведенные нами исследования, практически точные результаты получались уже в том случае, когда в системе (2.16) оставалось 12 уравнений.

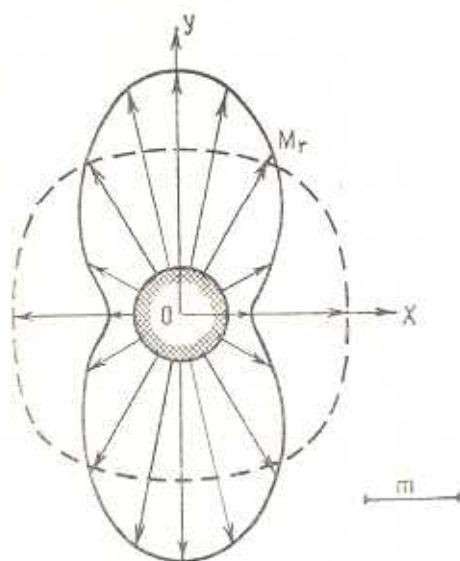
Таблица 2

		$n$		4	8	12	16	20
		Точки						
$D_1 W$	$F$			-7,2086	-6,8068	-6,7784	-6,7915	-6,7885
	$F'$			-18,025	-17,538	-17,531	-17,553	-17,558
$M_r$	$A$			-0,9643	-0,8968	-0,8933	-0,8942	-0,8949
	$A'$			2,1286	2,0576	2,0505	2,0487	2,0484
	$F$			1,1630	0,9279	0,9922	1,0135	0,9965
	$F'$			0,9942	0,9743	0,9890	0,9993	1,0010
$N_r$	$A$			8,9413	8,7780	8,7777	8,7829	8,7856
	$A'$			-1,8734	-1,7056	-1,6778	-1,6677	-1,6656
	$F$			-0,0026	-0,0571	-0,0241	-0,0154	-0,0177
	$F'$			-0,0655	-0,0421	-0,0161	-0,0154	-0,0224

Для указанных выше отношений полуосей в табл. 3 приведены в 5-м приближении (т. е. при  $n = 20$ ) с точностью до  $m$  значения прогиба, моментов и перерезывающих сил в точках действительной и мнимой осей, а в табл. 4 — прогиб, моменты и перерезывающие силы в точках внутреннего контура (верхняя половина таблицы) и внешнего (нижняя половина). В точках дей-



Фиг. 2.



Фиг. 3.

ствительной и мнимой осей скручивающий момент  $H_{\alpha\alpha}$  равен нулю, поэтому он в таблицах не приведен.

Распределение изгибающего момента  $M_r$  по контуру  $L_1$  в случае, когда оба контура являются эллиптическими ( $a_0/a_1 = 5$ ,  $b_0/b_1 = 2$ ), дано на фиг. 2. Для сравнения на фиг. 3 показано распределение изгибающего момента  $M_r$  по контуру кругового ядра в круглой плите ( $R_0/R_1 = 2$ ). Сплошная линия графиков, изображенных на фиг. 2, 3,



Таблица 3

Forma	$D, W$		$M_A$		$M_B$		$N_A$		$N_B$	
	Фанера	СВМ	Фанера	СВМ	Фанера	СВМ	Фанера	СВМ	Фанера	СВМ
A	0	0	-0,8949	2,5268	-0,0233	0,3272	8,7856	-2,2266	0	0
B	-0,1378	-0,4894	1,3022	1,1019	0,5614	1,0339	0,5367	-0,2416	0	0
C	-0,9387	-1,6443	1,2118	1,0153	0,7868	1,0190	0,0239	-0,0430	0	0
D	-2,3644	-3,3768	1,1155	1,0008	0,8800	1,0100	-0,0110	-0,0100	0	0
E	-4,3328	-5,6756	1,0489	0,9999	0,9353	1,0052	-0,0126	0,0001	0	0
F	-6,7885	-8,5400	0,9965	1,0021	0,9746	0,9923	-0,0177	-0,0213	0	0
A*	0	0	0,6467	0,1296	2,0484	0,9917	0	0	-1,6656	0,9001
B*	-0,9580	-0,0471	1,8806	0,3179	1,3470	1,1148	0	0	-1,3367	0,4767
C	-3,3964	0,1925	1,7157	0,4843	1,1134	1,1269	0	0	-0,4485	0,1706
D*	-7,0254	-0,4350	1,5766	0,5990	1,0374	1,0957	0	0	-0,1719	0,0257
E*	-11,756	-0,7734	1,5030	0,6741	1,0094	1,0532	0	0	-0,0662	-0,0390
F*	-17,558	-1,2000	1,4559	0,7268	1,0010	1,0074	0	0	-0,0224	-0,0735

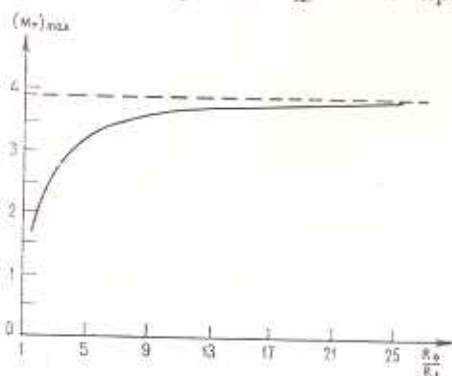
Таблица 4

№	$D, W'$		$M_r$		$M_0$		$H_{r0}$		$N_r$		$N_0$	
	Фанера	СВАМ	Фанера	СВАМ	Фанера	СВАМ	Фанера	СВАМ	Фанера	СВАМ	Фанера	СВАМ
	0	0	0	-0,8950	2,5268	0,0233	0,3272	0	0	8,7856	-2,2266	0
15	0	0	0,2154	2,1753	-0,0588	0,6857	0,0971	-0,2303	7,7310	-3,7966	-1,7722	1,8954
30	0	0	0,8330	1,6318	0,7520	0,6485	-0,6208	0,0514	3,4344	-0,7531	7,1208	-4,8438
45	0	0	1,5013	1,2827	1,9389	0,3748	-0,9388	0,1351	-2,7895	0,9859	13,296	-2,4057
60	0	0	1,8454	1,1009	1,7645	0,2170	-0,4977	0,1016	-3,8102	1,0767	-0,0010	-0,8141
75	0	0	2,0031	1,0163	0,9830	0,1486	-0,1302	0,0507	-2,2907	0,9527	-3,0283	-0,2570
90	0	0	2,0484	0,9917	0,6467	0,1296	0	0	-1,6656	0,9001	0	0
0	-6,7885	-8,5400	0,9965	1,0021	0,9746	0,9923	0	0	-0,0177	-0,0213	0	0
15	7,7718	-8,0020	1,0022	0,9968	0,9524	1,0073	0,0027	0,0031	0,0035	0,0073	0,0032	0,0238
30	10,323	-6,5520	0,9990	1,0045	0,8891	1,0001	-0,0045	0,0011	-0,0260	0,0011	-0,0012	-0,0058
45	13,374	-4,6262	0,9996	0,9946	0,8720	1,0034	-0,0427	0,0016	0,0467	-0,0039	0,0541	-0,0125
60	15,756	-2,8165	1,0005	1,0002	1,0922	0,9480	-0,0724	-0,0042	0,0008	0,0235	0,1694	-0,0654
75	17,105	-1,6105	0,9991	0,9931	1,3792	0,8078	-0,0396	-0,0452	-0,0401	0,0193	0,1238	-0,1091
90	17,558	-1,2000	1,0010	1,0074	1,4559	0,7268	0	0	-0,0224	-0,0735	0	0

соответствует фанерной плите, а пунктирная — плите, изготовленной из СВМ'а.

На основании полученных результатов можно заключить, что анизотропия материала оказывает существенное влияние как на характер распределения, так и на величину всех характеристик напряженно-деформированного состояния плиты.

Для выяснения взаимного расположения контуров плиты на ее напряженное состояние нами были проведены просчеты для прогибов, моментов и перерезывающих сил при различных отношениях радиуса



Фиг. 4.

круглой фанерной плиты к радиусу круглого ядра. На фиг. 4 представлено изменение максимального изгибающего момента  $M_r$ , который получается в точке  $A'$  (см. фиг. 1), в зависимости от отношения  $R_0/R_1$ . Пунктиром на рисунке показана величина этого момента для случая, когда плита считается теоретически бесконечной [4]. На основании этого графика можно заключить, что

погрешность приближенного (т. е. когда плита считается „бесконечной“) определения максимального изгибающего момента  $M_r$  равна

20,4%	при	$R_0/R_1 = 5$ ,
6,4%	при	$R_0/R_1 = 10$ ,
3,8%	при	$R_0/R_1 = 20$ .

Таким образом, при определении максимального изгибающего момента практически можно считать плиту „бесконечной“ при  $R_0/R_1 \geq 10$ . Для меньших отношений радиуса плиты к радиусу отверстия это решение дает для максимального изгибающего момента  $M_r$  завышенные значения.

Саратовский государственный  
университет

Поступила 28 VI 1965

Վ. Վ. ՄԵԳԼԻՆՍԿԻ

ԷԼԻՊՍԱԿԱՆ ԱՆՅՔ ՈՐԵՆՏՈՂ ԱՆԻՉՈՏՐՈՂ ԷԼԻՊՍԱԿԱՆ ՍԱԼԻ ԾՌՈՒՄԸ

Ա Վ Փ Ն Փ Ն Վ

Տրված է էլիպսական անյք ունեցող անիզոտրոպ էլիպսական սալի ծաման խնդրի լուծումը, երբ սալի ներքին կզրը կոշտ ամրակցված է, իսկ արտաքին կզրում ազդում են հավասարաչափ բաշխված ծողղ մոմենտներ: Խնդրի լուծումը բերված է գծալին հանրահաշվական հավասարումների ան-

վերջ սիստեմի լուծման: Յուլյց է արված, որ սալի միջին հարթութիւնը սահմանափակող կզրերի ցանկացած մասիւթիւնն զեւզքում արչ սիստեմը հանդիսանում է քվադրոկուլար:

Բերված են աղյուսակներ և կառուցված զբաֆիկներ, որոնք բնորոշում են սալի լարվածա-զեֆորմացիոն վիճակը՝ կախված նլութի անիզոտրոպիալից: Պարզարանված է, թե սալի ինչպիսի չափերի զեւզքում այն կարելի է համարել «անվերջ»:

V. V. MEGLINSKY

## BENDING OF AN ANISOTROPIC ELLIPTIC PLATE WITH AN ELLIPTIC HOLE

### S u m m a r y

The solution is given of the problem of the bending of an elliptic plate with an elliptic hole under actions of bending moments, uniformly distributed on external contour of the plate. The inner contour is rigidly pinched.

The solution of the problem is reduced to the solution of infinite system of linear algebraic equations. This system is shown to be quasi-regular at any nearing between contours, limiting the middle plane of the plate.

Tables and diagrams are presented, characterizing the stressed-deformed state of the plate according to the material anisotropy. It is found out at what plate sizes the latter may be considered to be „infinite“.

### Л И Т Е Р А Т У Р А

1. Буров А. К., Андреевская Г. Д. Стекловолокнистые анизотропные материалы и их техническое применение. Изд-во АН СССР, 1956.
2. Канторович А. В., Крылов В. И. Приближенные методы высшего анализа. Гостехиздат, М.-Л., 1959.
3. Космодамианский А. С. О квазирегулярности бесконечных систем и задаче о концентрации напряжений возле криволинейных отверстий. Прикл. механика, т. 1, к. 1, 1965.
4. Лехницкий С. Г. Анизотропные пластинки. Гостехиздат, 1957.
5. Маркушевич А. И. Теория аналитических функций. Гостехиздат, 1950.
6. Меглинский В. В. Изгиб анизотропной эллиптической плиты, ослабленной эллиптическими отверстиями. Прикл. механика, т. 1, к. 4, 1965.
7. Смирнов В. И. Курс высшей математики, т. 1. Физматгиз, М., 1961.
8. Смирнов В. И., Лебедев Н. А. Конструктивная теория функций комплексного переменного. Изд-во «Наука», М.-Л., 1964.